

東北大学工学部 正員 平田 強  
東北大学工学部 正員 佐藤義久

仙台市内の主要な水道水源である釜房湖（昭和45年に完成した多目的ダム湖で貯留水量約4500万m<sup>3</sup>, 基本面積約3.9km<sup>2</sup>）においてはその水質レベルはすでに富栄養湖レベルにあり、春季には珪藻(Synechococcus sp.)の増殖、夏季成長期には中・下層における溶存酸素の消失とともに伴なうマニガン・鉄の底泥からの溶出、硫化水素の発生等が生じており、さらに異臭発生等の水質的問題が生じてきている。このような貯留池においては、その水体の挙動、特に夏季の成層期における躍層の形成と水質の躍層上下の顕著な差異の検討に際し、流入流出水の性状を知る必要がある。そのため、釜房湖流域内にある三本の流入河川（太郎川、ヨリ川、前川）のうち最も支流面積の大きい前川を選び湖流入点より約500m上流に水温の自動観測計を取りつけ、その水温の変化を記録させた。本報告はこのままで得られた得られたデータ（9月27日から12月31日）によるものである。また、データの読み取り間隔は30分毎である。

### 1. 水温の自己共分散関数ヒューラスベクトルによる周周期性の把握

河川水温の変動を明らかにするためにまず水温の時系列データの自己共分散関数  $R(\tau)$  を(1)式により求めた。

$$R(\tau) = \frac{1}{N-\tau} \sum_{j=0}^{N-1-\tau} (X_j - \bar{X})(X_{j+\tau} - \bar{X}) \quad j=0, 1, 2, \dots, N \quad (1)$$

$$\bar{X} = \frac{1}{N} \sum_{j=0}^{N-1} X_j$$

得られた結果を図-1 に示す。 $R(\tau)/R(0)$  はすみやかに減少するが24時間毎に極大値を示し、その振幅は減少せず24時間の周期性が保存されることがわかる。次により詳細な周期を検討するためには水温データのパワースペクトル  $RP_j$  を次式(2)により求めた。その結果を

$$RP_j = \frac{2}{N\Delta t} \left[ (\Delta t \cdot R_{0j})^2 + (\Delta t \cdot I_{mj})^2 \right] \quad j=0, 1, 2, \dots, \frac{N}{2}-1 \quad (2)$$

$$A_j = \sum_{k=0}^{N-1} X'_k \cdot W^{kj} \quad j=0, 1, \dots, \frac{N}{2}-1 \quad (3)$$

$$W = \exp \left( -\frac{2\pi i}{N} k \right) \quad i=\sqrt{-1} \quad (4)$$

$$N: データの個数, X'_k: X_k - \bar{X},$$

$$\Delta t: データ間隔, A_j: 離散的フリエ係数$$

$$R_{0j}, I_{mj}: A_j の実部と虚部$$

図-2 に示す。図から明らかのように、24時間周期としてパワーが大きく、更に12時間周期として成分も顕著であることがわかる。

### 2. 日単位のデータによる日周性の検討

図-2 によれば水温は周期が24, 12時間の周期成分を有することが明らか

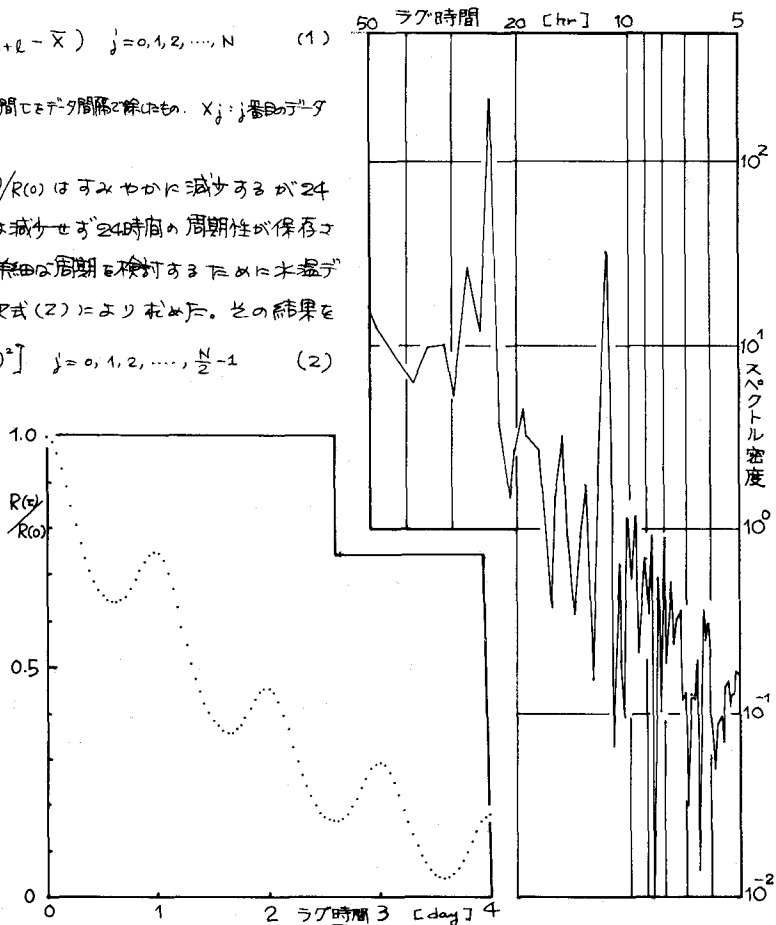


図-1 水温の自己共分散関数

図-2 水温パワースペクトル

1=1, T=。このため水温の変化を24時間毎に区切って、各日の0:00から23:30までの48IDのデータによる日周変化の把握を行なうために次式(5)を考え、(5)式中のフーリエSIN級数の項数nの増加に伴なう標準偏差σの変化を求めた。

$$WT(t) = a_0 + b_0 \cdot t + \sum_i A_i \sin\left(\frac{2\pi}{24} i (t + d_i)\right) \quad (5)$$

その結果は図-3に示すようにnの増加に伴なって減少するが、 $i > 3$ では項数の増加に伴なうものの減少は極めてわずかであり、したがってiとして最大3(24, 12, 8時間の周期成分)を考えればよいことわかる。すなわち

$$WT(t) = a_0 + b_0 \cdot t + \sum_{i=1}^3 A_i \cdot \sin\left(\frac{2\pi}{24} i (t + d_i)\right) \quad (6)$$

となる。ここで(6)式における諸定係数を最小自乗法により求めた。その結果、位相差dは図-4に示すように正規分布に近い分布を示し、d1, d2 は共にほぼ定数とみなすことができる。このことは24時間成分と12時間成分の位相差が固定化されることを意味し、日変化特性の記述上有効となりうることを示しておこうと考えられる。

一方、d3 はd1, d2 に比して大きめバラツキを示し定数としては取扱えず、また図-2に示すDFTスペクトル上よりても8時間の周期成分の卓越性は認められないことから、(6)式において8時間の周期成分は近似誤差を抱つているものと考えられる。

次にフーリエSIN係数Aiには日周変動の相対的変動率を意味するものと考えられるが、これは現象的に日射量に依存するものとし、Aiと日射量I(cal/cm<sup>2</sup>·day)との関連を線形回帰により検討した。その結果(3)式のd3が回帰式が得られ、A1, A2 は日射量Iによつてその $\frac{3}{4}$ 程度が正しくなることがあり、d1, d2 がほぼ定数として取り扱えることを合わせて(6)式のフーリエSIN級数の24, 12時間成分の和が水温の日周変化の特性を近似し、8時間の成分が近似誤差を補正するため働きこなすと考えられる。

### 3. 結果

今後、データの蓄積を得て水温の日周性をその年季性との関連からも明らかにし、各定係数の意味づけをより詳細に検討するに加えて、河水の水表面熱収支に基づく水温の形成過程に対する検討を行ない、水温の特性を明らかにしたい。なお、本研究を行なうにあたり、東北大学大型計算機センターのACOS ファミリースを利用させていただいた。また、東北地建ダム管理所の方々には本研究の遂行にあたり数々の便宜を計りていただきたい。これらの関係各位に大いに感謝しまう。

参考文献：塙川明著「ラニダム変動の解析」共立出版、1973

○松尾・味村・三浦「河川水質の日間変動とその解析」第14回 行政工学研究討論会、1978

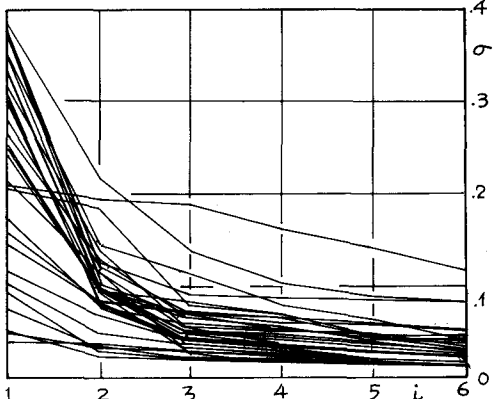


図-3 式(5)におけるnの増加に伴なうσの減少

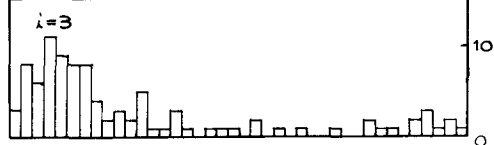
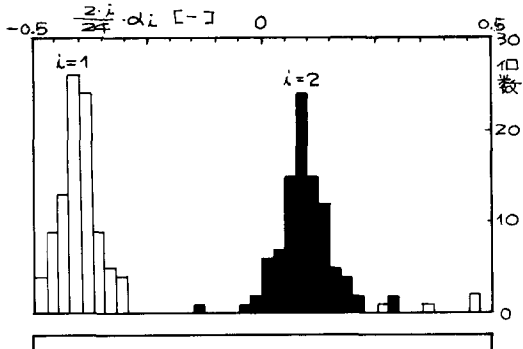


図-4 式(6)におけるdiのヒストグラム

$$A_1 = 0.246\lambda + 0.00472 \cdot I \quad (r^2 = 0.748)$$

$$A_2 = 0.0750 + 0.00175 \cdot I \quad (r^2 = 0.723)$$

$$A_3 = 0.0526 + 0.00035 \cdot I \quad (r^2 = 0.320)$$